Grasa en el hígado: Lesiones y seudolesiones. Pueden las imágenes definir el diagnóstico?

Micheli María Lucrecia, Lértora Pérego Silvana, Otero Estefanía Sol, Rossi Ignacio, Volpacchio Mariano



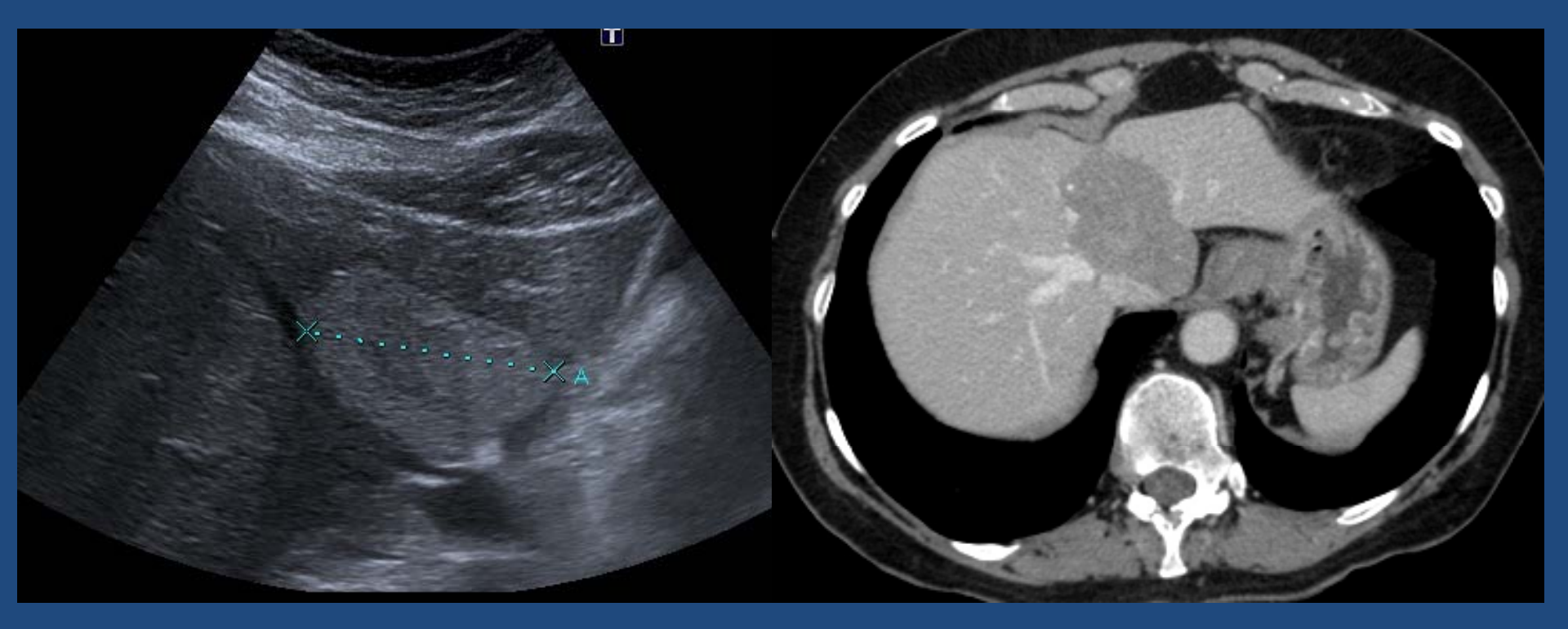
Introducción

 El hígado puede presentar una amplia variedad de lesiones con contenido graso, tanto benignas como malignas. Conocer sus características y comportamiento en los diferentes métodos de imágenes son fundamentales para el diagnóstico.

Objetivos

- Repasar las diferentes entidades que se caracterizan por la presencia de tejido graso.
- Determinar la utilidad de los distintos métodos de imágenes en el diagnóstico de éstas lesiones.
- Repasar las diferentes características de las lesiones así como los hallazgos asociados que permitan acotar los diagnósticos diferenciales.

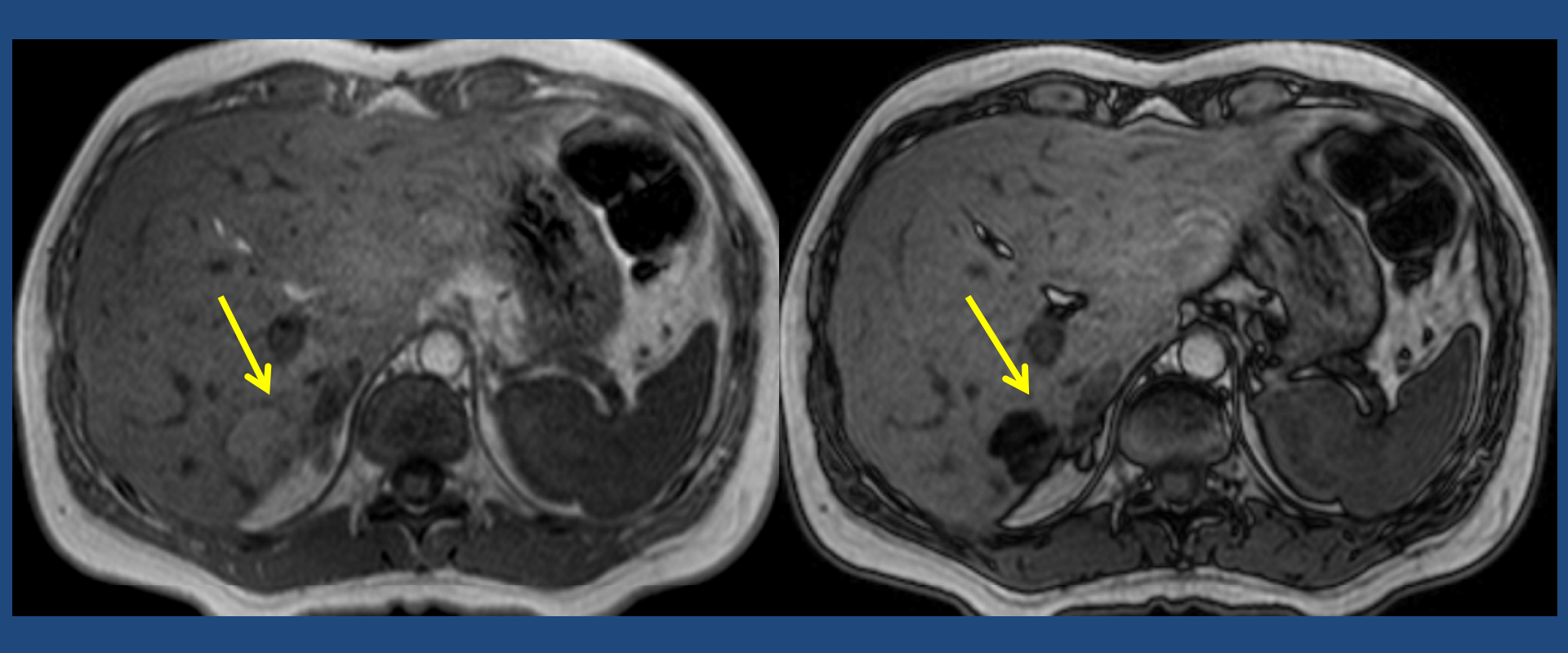
Adenoma



Ecografía: Se observa imágen hiperecogénica en lóbulo hepático izquierdo.

TC con contraste : Imágen de bordes polilobulados de baja densidad en secuencia sin contraste, con moderado efecto de masa sobre estructuras vasculares. Presenta realce en fase precoz con ulterior wash-out.

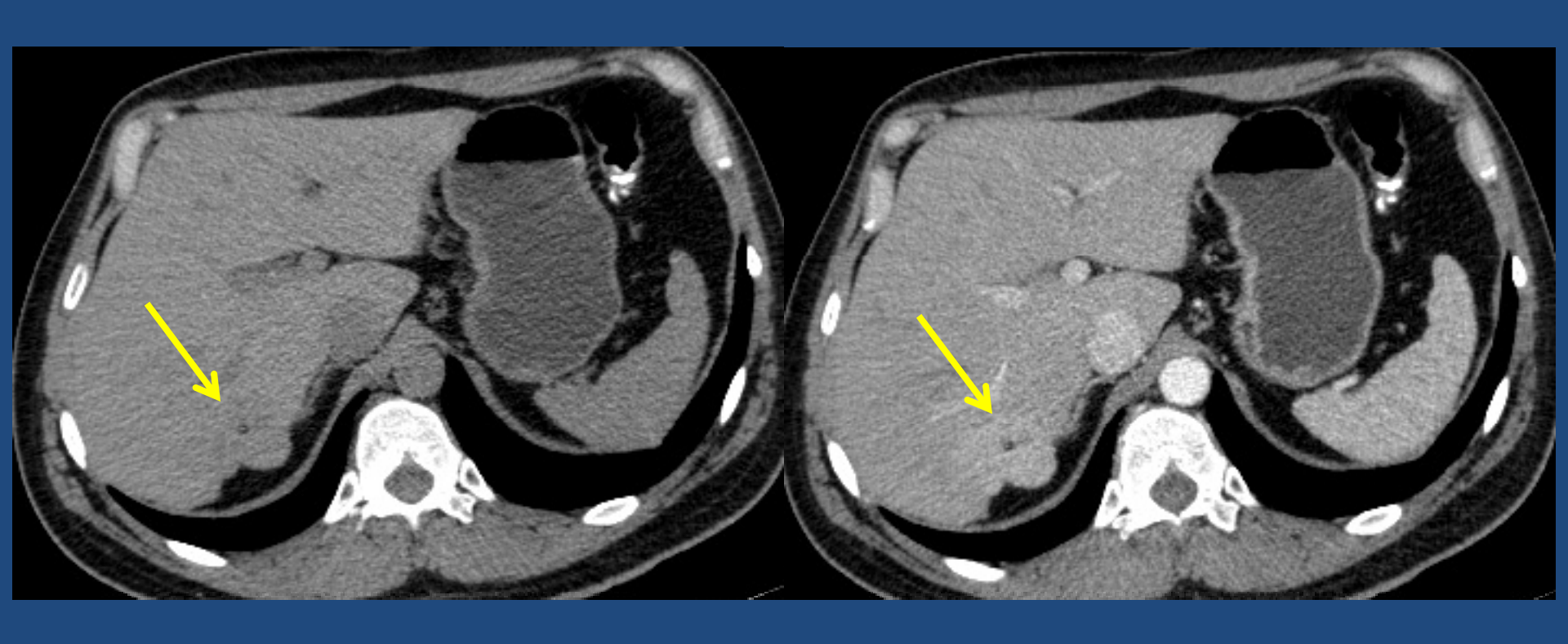
Adenoma



RM secuencia T1 GRE en fase se visualiza lesión moderadamente hiperintensa en segmento VII.

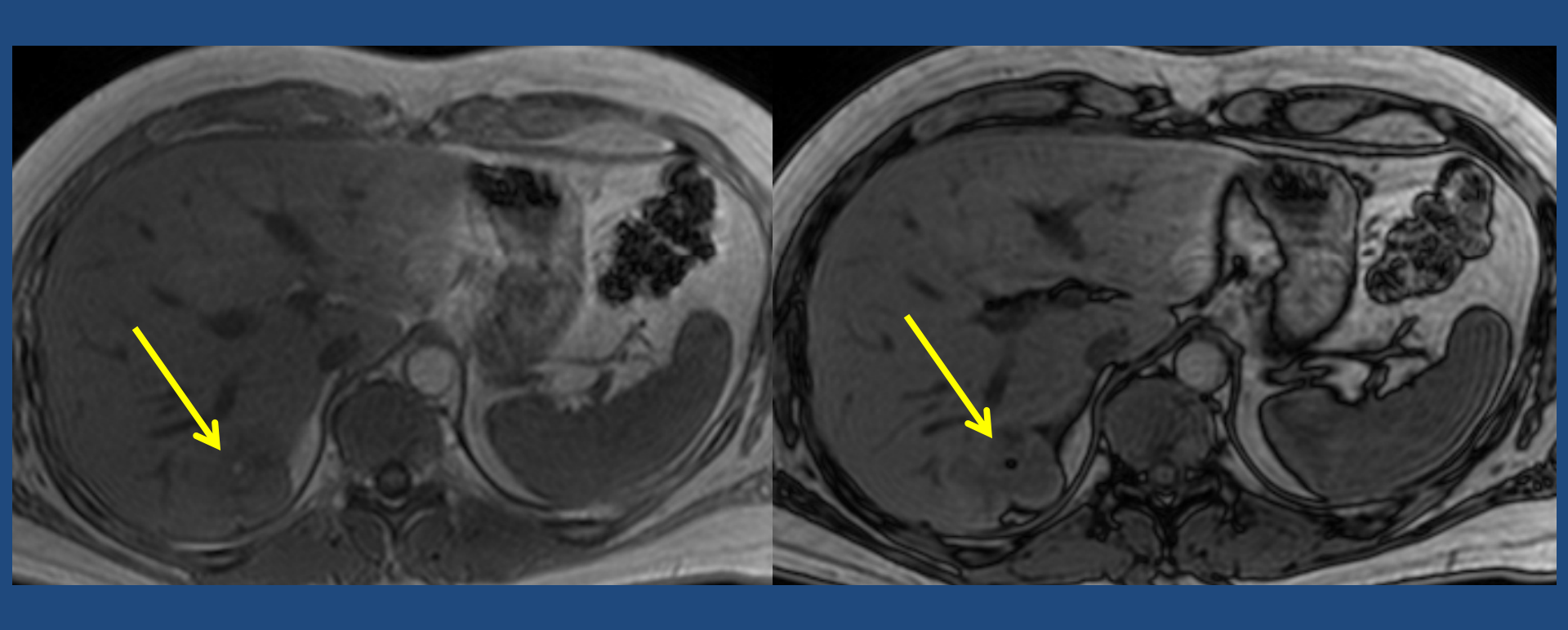
Se observa caída de la señal en secuencia T1 GRE fuera de fase lo que indica lesión con contenido graso.

Hiperplasia nodular focal



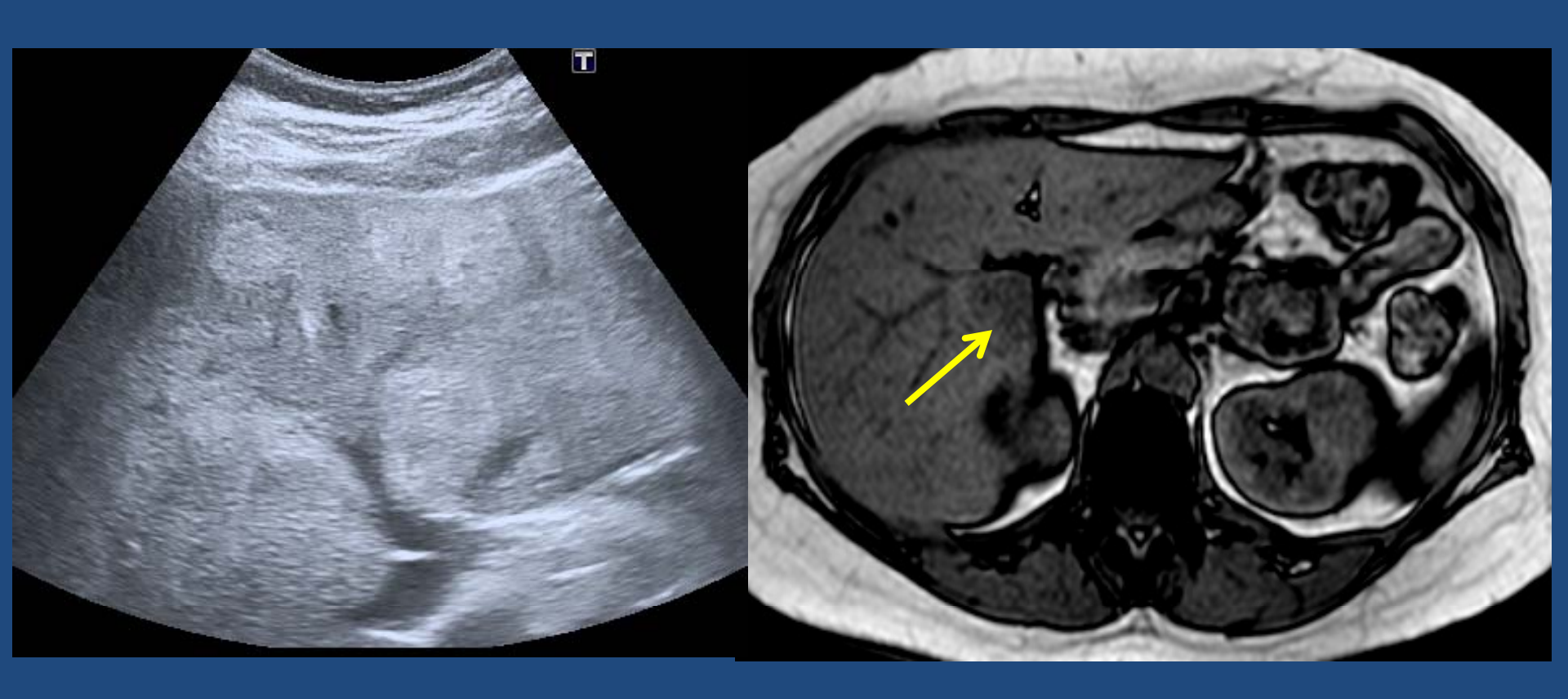
TC sin contraste: Lesión isodensa con el parénquima hepático en situación subcapsular.

TC con contraste: En segmento VII se observa lesión de bordes lobulados que exhibe un intenso refuerzo en fases precoces y muestra una cicatriz central.



RM T1 GRE en fase y fuera de fase, muestra cicatriz central con contenido graso.

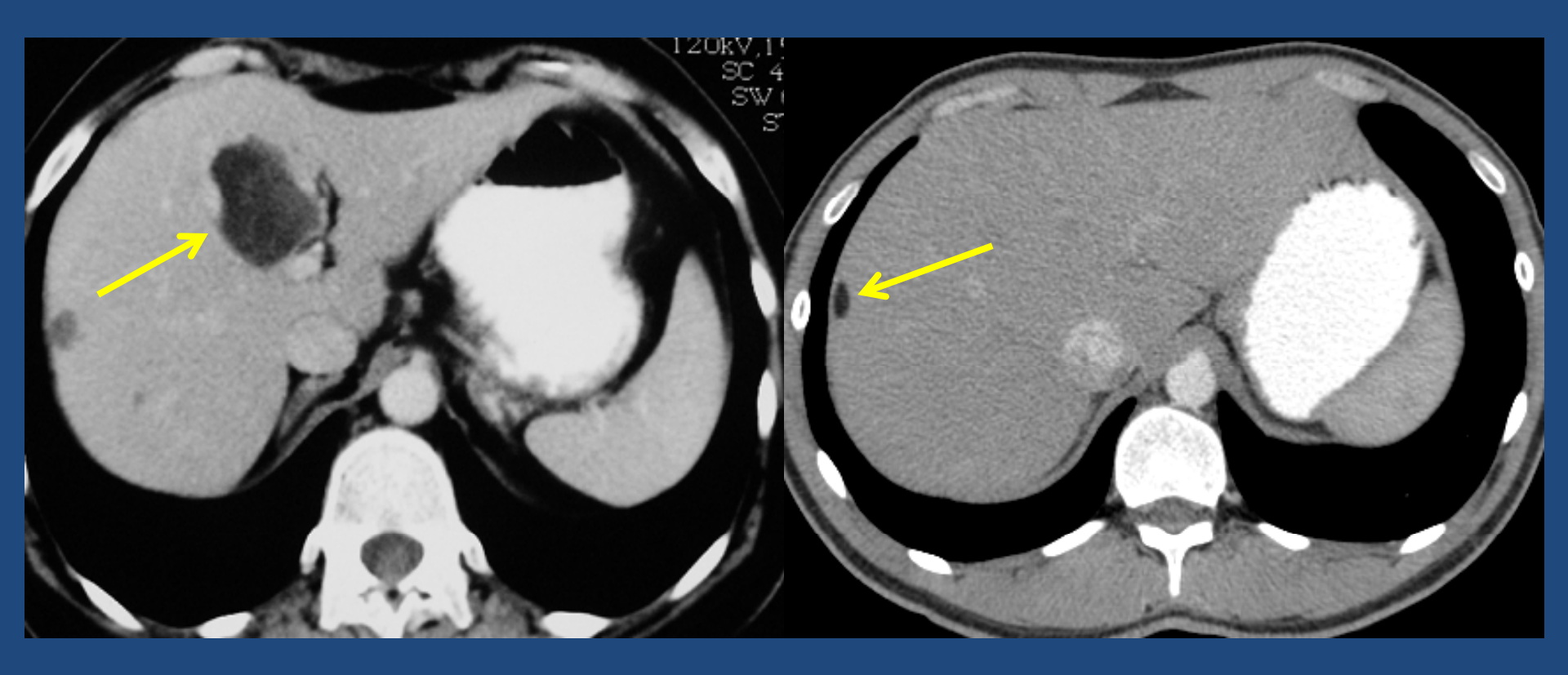
Esteatosis focal



Ecografía: imágenes redondeadas hiperecogénicas compatibles con esteatosis seudonodular multifocal.

Foco de esteatosis que presenta caída de la señal en secuencia T1 GRE fuera de fase.

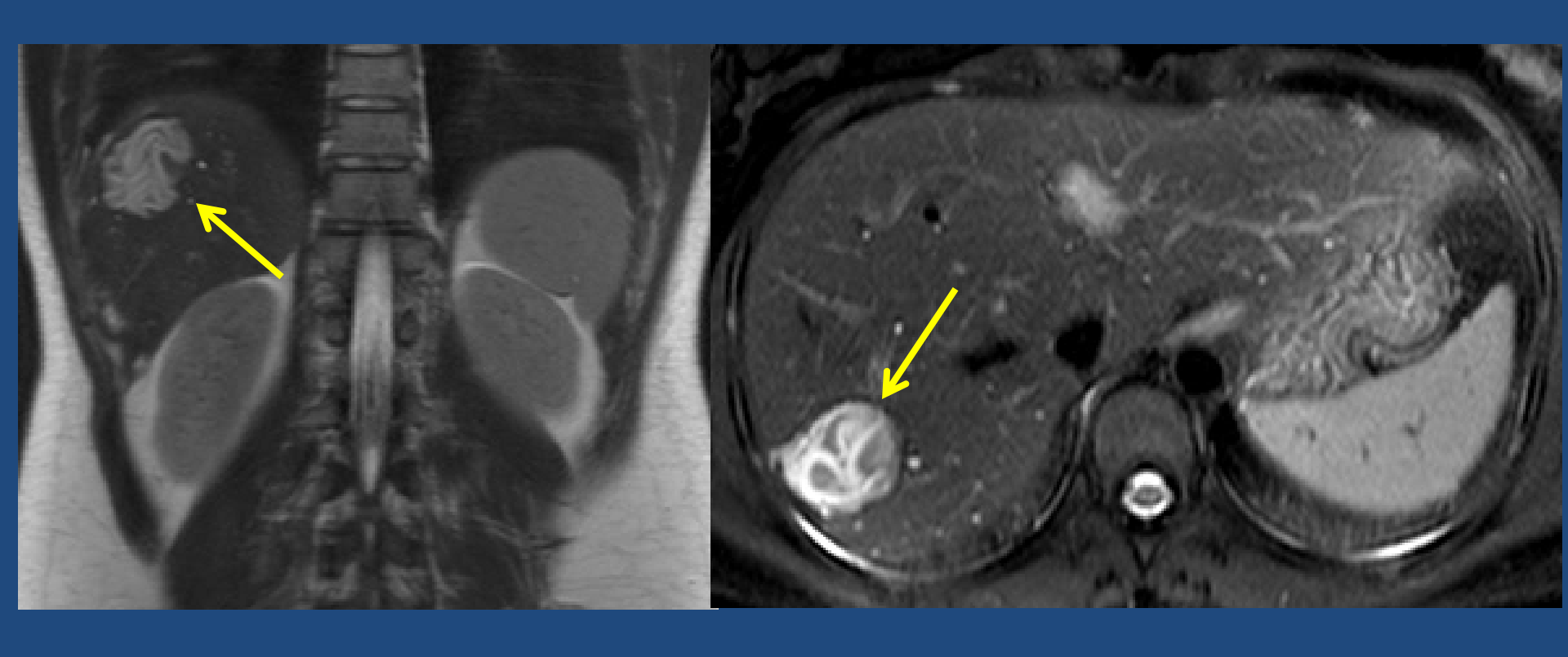
Lipoma y Seudolipoma de la capsula de Glisson



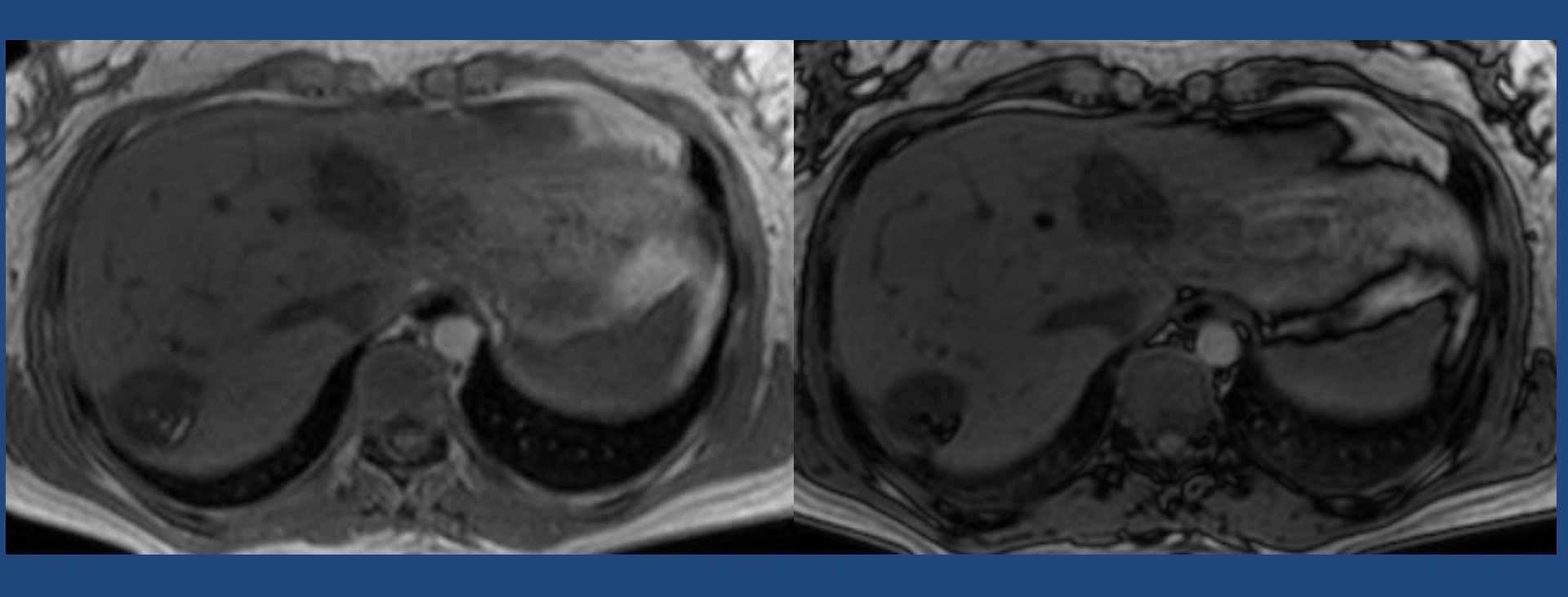
TC con contraste: se observa imágen hipodensa en segmento IV compatible con lipoma intraparenquimatoso.

TC con contraste: imágen hipodensa de contenido graso extra hepático.

Quiste hidatídico



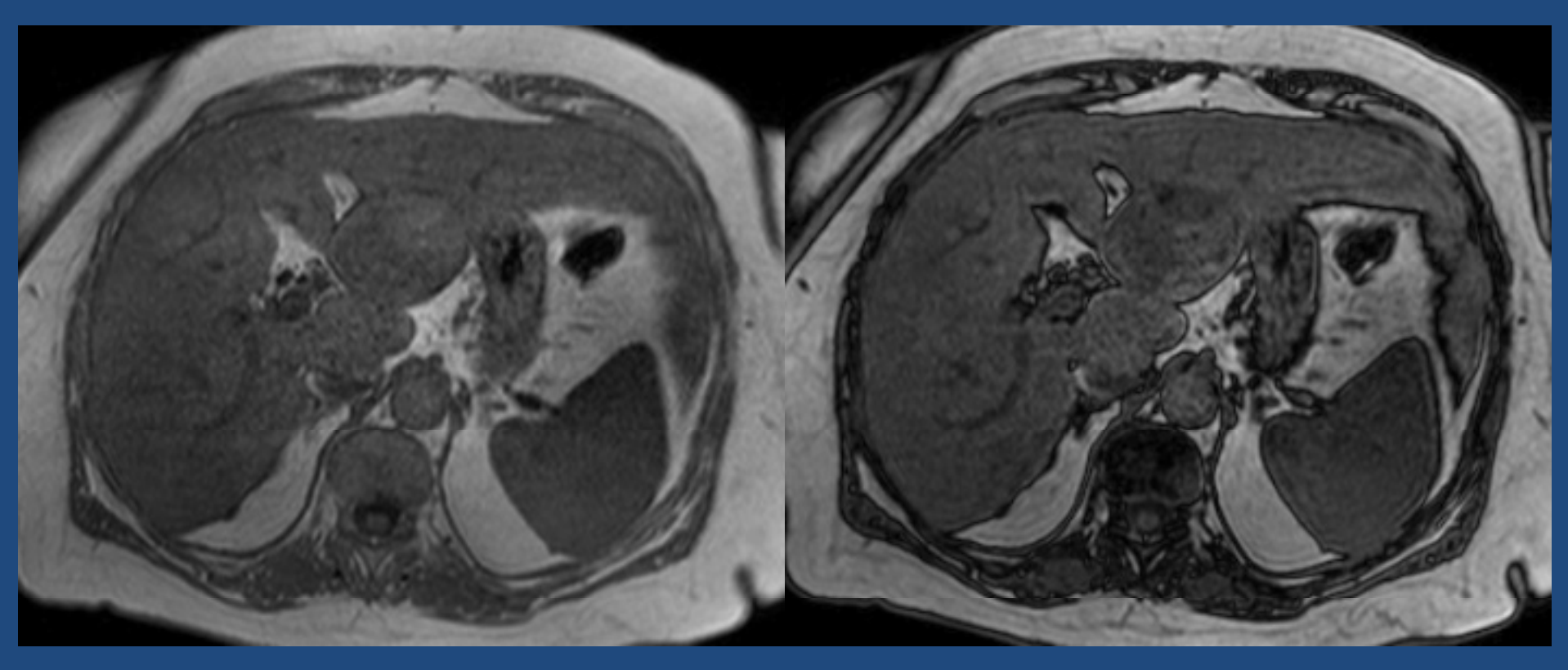
RM secuencias T2 coronal y T2 con saturación grasa: Se observa lesión quística de contenido heterogéneo de aspecto laminado .



RM secuencia T1 GRE en fase: Se visualizan pequeños focos hiperintensos en el interior de la lesión.

RM secuencia T1 GRE en fuera de fase: Se observa caída de la señal de los focos hiperintensos que representa grasa intralesional.

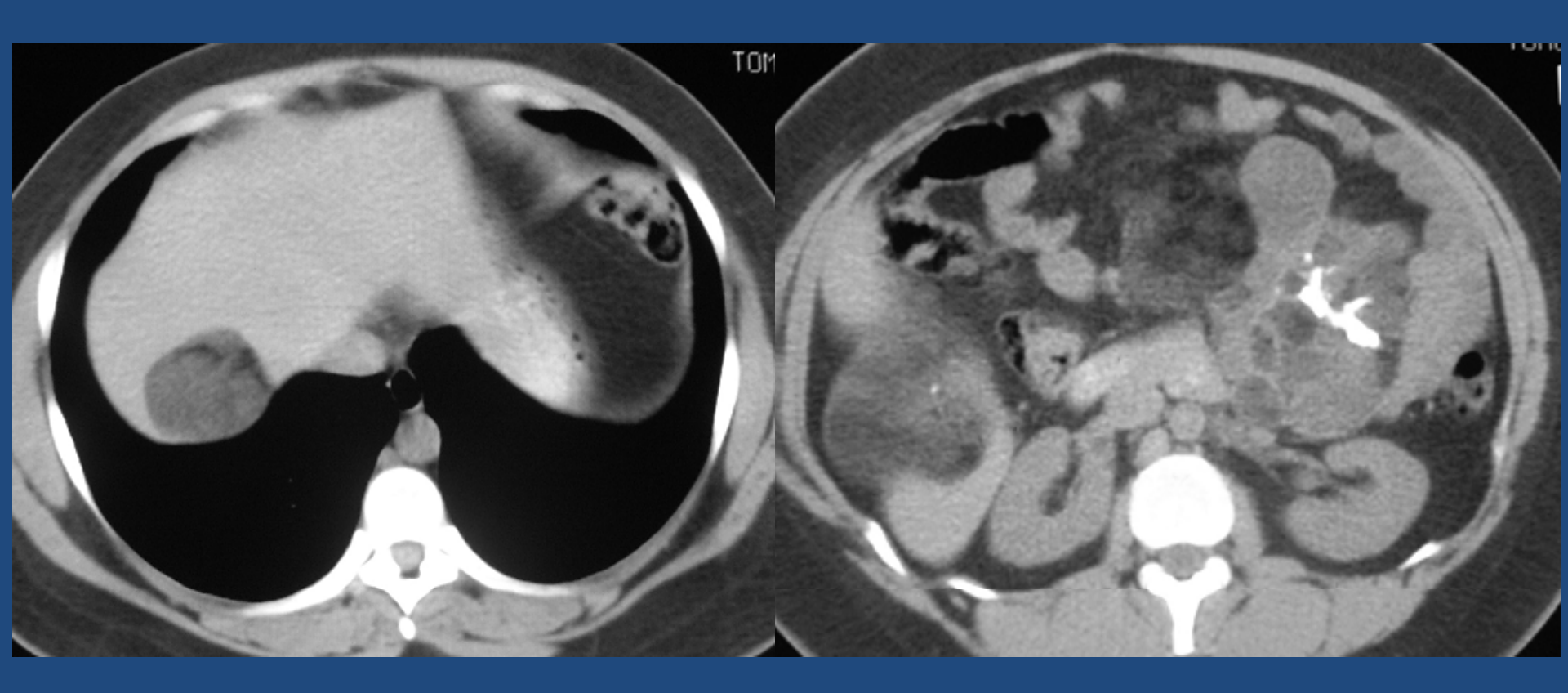
Hepatocarcinoma



RM T1 GRE en fase: Se observa lesión que crece exofíticamente a partir del segmento III, es heterogénea y de bordes lisos.

En secuencia T1 GRE fuera de fase la lesión presenta caída de la señal en forma heterogénea compatible con grasa en su interior.

Metástasis



TC: se visualiza en segmento VII imagen compatible con metástasis de liposarcoma.

TC: se observa imágen heterogénea en segmento VI compatible con metástasis de teratoma inmaduro.

Conclusión

 Los distintos métodos de imágenes permiten arribar al diagnóstico con grados variables de especificidad, y en muchos casos, estos hallazgos asociados al contexto clínico, logran caracterizar las lesiones evitando los procedimientos invasivos para confirmar su etiología.

Bibliografía

- Mathieu D, Paret M, Mahfouz AE, et al. Hyperintense benign liver lesions on spin-echo T1-weighted MR images: pathologic correlations. Abdom Imaging 1997; 22:410–417.
- Rubaltelli L, Savastano S, Khadivi Y, Stramare R, Tregnaghi A, Da Pian P. Targetlike appearance
 of pseudotumors in segment IV of the liver on sonography. AJR Am J Roentgenol 2002;
 178:75–77.
- Kemper J, Jung G, Poll LW, Jonkmanns C, Luthen R, Moedder U. CT and MRI findings in multifocal hepatic steatosis mimicking malignancy. Abdom Imaging 2002; 27:708–710.
- Grazioli L, Federle MP, Brancatelli G, Ichikawa T, Olivetti L, Blachar A. Hepatic adenomas: imaging and pathologic findings. RadioGraphics 2001; 21:877–892.
- Wang LY, Wang JH, Lin ZY, et al. Hepatic focal nodular hyperplasia: findings on color Doppler ultrasound. Abdom Imaging 1997; 22:178–181.
- Quinn AM, Guzman-Hartman G. Pseudolipoma of Glisson capsule. Arch Pathol Lab Med 2003;
 127:503–504.
- Ebara M, Fukuda H, Kojima Y, et al. Small hepatocellular carcinoma: relationship of signal intensity to histopathologic findings and metal content of the tumor and surrounding hepatic parenchyma.
- Teas S, Ronan SG, Ghosh L. Solitary metastatic liposarcoma of the liver (letter). Arch Pathol Lab Med 1978; 102:605.
- Winter TC 3rd, Freeny P. Hepatic teratoma in an adult: case report with a review of the literature. J Clin Gastroenterol 1993; 17:308–310.